

# مدل سازی پی پوسته‌بی مخروطی بتن مسلح با شیب‌های مختلف

هرتضی شیخی<sup>\*</sup> (دانشجوی دکتری)

حسن حاجی‌کاظمی (استاد)

گروه مهندسی عمران، دانشگاه فردوسی مشهد

پی‌های پوسته‌بی از جمله پی‌های هستند که با توجه به ساختار و شکل شان در مقایسه با انواع مسطح دارای ضخامت‌های کمتر و مقاومت بیشتری هستند. این کاهش ضخامت به صرفه‌جوبی در مصالح و کاهش هزینه‌ها منجر می‌شود. علاوه بر این، شکل خاص آنها باعث افزایش برابری خاک می‌شود و خصوصیات رفتاری به شکل چشم‌گیری بهبود پیدا می‌کند. در این پژوهش با مدل سازی، رفتار تعدادی پی‌پوسته‌بی مخروطی بتن مسلح با ابعاد کاربردی با روش اجزاء محدود و نرم افزار ABAQUS مورد بررسی قرار گرفته است. در این تحلیل، که به صورت غیرخطی مصالح است، بتن، خاک و فولادها کاملاً مدل شده‌اند. نتایج عددی نشان می‌دهند که پی‌پوسته‌بی مخروطی در مقایسه با نوع مسطح آن، دارای مقاومت بیشتری است. با افزایش ارتفاع پی‌مخروطی، مقاومت افزایش می‌یابد و در ارتفاعی بهجهه، بیشترین مقاومت را خواهد داشت.

**واژگان کلیدی:** پی‌پوسته‌بی مخروطی، روش اجزاء محدود، بتن مسلح، اندرکشنس خاک و سازه.

morteza.sheykhi@gmail.com  
hkazemi@ferdowsi.um.ac.ir

## ۱. مقدمه

نهایی این پی‌ها منجر شده است. در سال ۱۹۷۲، یک سری تحقیقات آزمایشگاهی به منظور مطالعه‌ی اثر هندسه‌ی پوسته در ظرفیت باربری، نشتیت و توزیع تنش خاک زیر پی انجام شد.<sup>[۱]</sup> در سال ۱۹۹۴ هم یک سری تحلیل‌های اجزاء محدود پارامتریک به منظور یافتن تغییرمکان‌های عمودی پی‌های پوسته‌بی مخروطی انجام شد.<sup>[۲]</sup>

در پژوهشی دیگر (۱۹۹۴) نیز رفتار شکل‌های مختلف پی‌های پوسته‌بی از نظر شکست هستی خاکی با استفاده از تحلیل اجزاء محدود بررسی و با نمونه‌های مسطح مقایسه شد.<sup>[۳]</sup> همچنین با استفاده از نرم افزار اجزاء محدود NISA، پی‌های گنبدی، مخروطی و هایپار مدل سازی شدند و پارامترهای مختلف از قبیل ضریب اصطکاک، نوع خاک و شرایط بارگذاری مختلف و لنگر بر ظرفیت باربری و نشتیت پی‌ها مورد بررسی قرار گرفت.<sup>[۴]</sup> همچنین در تحلیل اجزاء محدود تعدادی پی‌مخروطی و هرمی با استفاده از Plaxis نشان داده شد که با افزودن اجزای تیری لبه‌ی، افزایش ظرفیت باربری مشاهده می‌شود.<sup>[۵]</sup> در پژوهش دیگری نیز تعداد ۸ نمونه‌ی مخروطی و هرمی بر روی ماسه‌ی تقویت‌شده و تقویت‌نشده، آزمایش و با نتایج عددی حاصل از plaxis مقایسه شد.<sup>[۶]</sup> پژوهشگرانی نیز با آزمایش تعدادی نمونه‌ی پوسته‌بی تک و مقایسه با نمونه‌های مسطح، ظرفیت باربری آنها را بر روی خاک‌های دانه‌ی موردن مطالعه قرار دادند.<sup>[۷]</sup>

تحقیقات آزمایشگاهی و تئوریک کمی در زمینه‌ی تنش‌ها و کرنش‌های پوسته‌ها از قبیل تنش‌های غشایی، لنگر خمی، برش و تغییرشکل‌ها انجام شده است.

توسعه‌ی کاربرد پوسته‌ها، در دهه‌های اخیر، در ساخت و سازهای مدرن مهندسی عمران، دوران روش و درخشناسی داشته است و نمونه‌های بسیاری از پوسته‌های ناچرک مسلح در شکل‌های مختلف، بهویه در سقف‌ها، در سراسر جهان اجرا شده است. در حدود دهه‌ی ۵۰ میلادی، برای اولین بار در مکزیک، پوسته‌ها در بی‌سازی مورد استفاده قرار گرفتند.<sup>[۸]</sup> این گونه پی‌ها، بهویه در خاک‌های سیست، گرینه‌ی بسیار مناسبی به شمار می‌آیند. البته با توجه به ساختار و شکل‌های مختلف هندسی، دقت در اجرای صحیح این سازه‌ها، اهمیت ویژه‌ی دارد.

مزیت دیگر این گونه پی‌ها، انواع پیش‌ساخته‌ی آن است که حتی در مقیاس و ابعاد بزرگ در مقایسه با پی‌های مسطح معمولی وزن کمتری دارد و درین مصرفی صرفه‌جوبی می‌شود. اصولاً پوسته‌ها سازه‌هایی هستند که مقاومت شان بیشتر ناشی از شکل آنهاست و نه از حجم و جرم‌شان. بنابراین با کمترین مصالح بیشترین کارایی را دارند.

طراحی کامل یک پی شامل دو بخش مجزا است که به طور خلاصه به صورت طراحی ژوتکنیکی و طراحی سازه‌ی تقسیم می‌شود. طراحی ژوتکنیکی، یافتن ابعاد مناسب پی است تا تحت بارهای سرویس تنش زیر پی و نشتیت آن در محدوده‌ی مجاز قرار گیرد. ساده‌ترین و کارایترین پی منفرد پوسته‌بی، پی مخروطی است که در شکل ۱، دو نمونه از آنها نشان داده شده است. پژوهش‌ها در مورد رفتار ژوتکنیکی پی‌های پوسته‌بی به تعدادی روابط تئوری و تجربی برای پیش‌بینی ظرفیت باربری

\* نویسنده مسئول

تاریخ: دریافت ۲۶/۱/۱۳۹۱، اصلاحیه ۱۰/۹/۱۳۹۱، پذیرش ۶/۹/۱۳۹۱

## ۲. تحلیل پی پوسته‌بی مخروطی

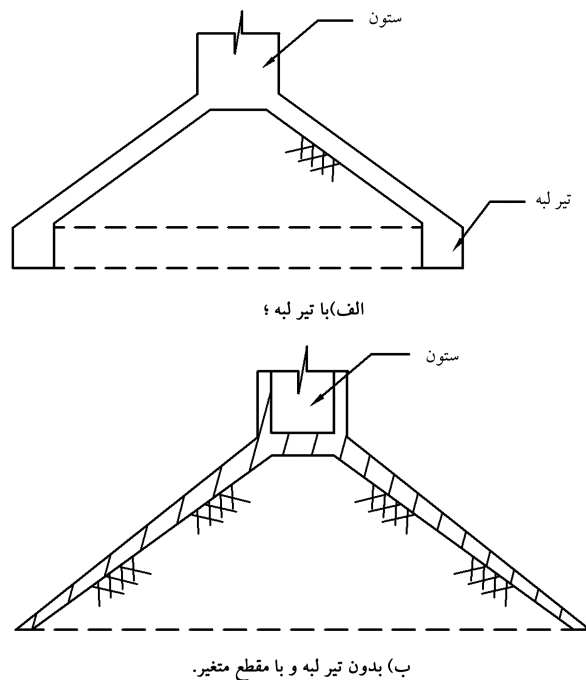
برای تحلیل پوسته‌ها تئوری‌هایی چون تئوری غشایی، تئوری خمشی و تئوری بار نهایی مورد استفاده قرار می‌گیرد. در تئوری غشایی با صرف نظر از مقاومت خمشی پوسته فقط نیروهای مقاوم در صفحه‌ی پوسته وجود خواهد داشت (شکل ۲).

به هر حال اگر به دلایلی پوسته توان تحمل بارها را تنها به وسیله‌ی منتجه‌های غشایی نداشته باشد، باید علاوه‌بر مود غشایی از مود خمشی استفاده کرد. بنابراین در حالت کلی ۸ برآیند تش در هر نقطه از پوسته وجود دارد که ۳ برآیند مربوط به رفتار خمشی است. مود خمشی مقاوم در برابر بارهای اعمالی در مورد پوسته‌ها به طور کامل می‌تواند با دو نیروی برشی، دو لنگر خمشی و یک لنگر پیچشی تعریف شود. به این ترتیب در هر نقطه‌ی دلخواه در صفحه‌ی  $(x, y)$ ، نیروی برشی  $Q_x$  و لنگر خمشی  $M_x$  را در جهت  $x$  و نیروی برشی  $Q_y$  و لنگر خمشی  $M_y$  را در جهت  $y$  و لنگر پیچشی  $M_{xy} = -M_{yx}$  که کاملاً تشریح‌کننده‌ی تنش‌های خمشی موجود در صفحه است، تعریف می‌شوند.

در تئوری غشایی، تعادل نیروها برقرار است؛ در حالی که الرااما سازگاری تغییرشکل‌ها وجود ندارد. از سوی دیگر تئوری خمشی علاوه‌بر تعادل نیروها، سازگاری تغییرشکل‌ها را نیز بهتر برقرار می‌کند. همچنین تئوری غشایی پاسخگوی همه‌ی اشکال مختلف پی‌های پوسته‌ی نیست و برای به دست آوردن پاسخ‌های واقعی تر در بسیاری از موارد استفاده از تئوری خمشی اجتناب ناپذیر است. در تئوری خمشی، سیستم کلی منتجه‌های تنش‌های محوری، خمشی و برشی به ترتیب به صورت  $N_x, N_y, M_x, M_y, M_{xy}, Q_x$  و  $Q_y$  تعریف می‌شود، که همه‌ی معادلات تعادل و سازگاری را هم زمان ارضاء می‌کند.

تئوری خمشی معمولاً با دو روش: ۱. تقریبی، ۲. نسبتاً دقیق و پیچیده و زمان‌بر، تحلیل می‌شوند. تحلیل‌های دسته‌ی دوم، به دوگرده تحلیل‌های عددی و تحلیل‌های دقیق با فرمول‌های بسته تنتیم می‌شوند. در تحلیل‌های عددی در روش تفاوت‌های محدود و اجزاء محدود به کار می‌روند، که پر کاربردترین روش‌های مورد استفاده برای تحلیل پوسته‌های بتنی همچون سقف‌ها و یا پی‌ها هستند. اگر چه روش اجزاء محدود از حدود ددهه‌ی پنجاه میلادی متداول شده است، اما با توجه به کارایی بالای آن به سرعت در تحلیل سازه‌های مختلف از جمله پوسته‌ها مورد استفاده قرار گرفته است.

به منظور کالیبره کردن مدل‌سازی‌های این پژوهش و همچنین سنجش میزان خطاهای روش مدل‌سازی انتخابی با استفاده از نرم‌افزار ABAQUS، که نرم‌افزاری برای اجزای احرازه محدود است، نمونه‌های آزمایشی Kurian و همکاران<sup>[۱]</sup> که از جنس Perspex (plexiglass) و مشخصات شکل ۳، تحلیل و نتایج حاصل با اطلاعات آزمایشگاهی مقایسه شده است. در این نمونه‌ها، مدول کشسانی Perspex برابر

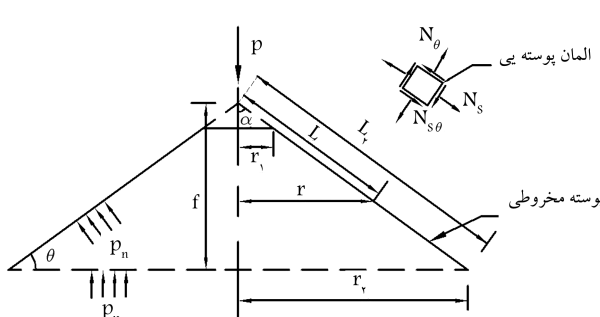


شکل ۱. بی‌های تک مخروطی.

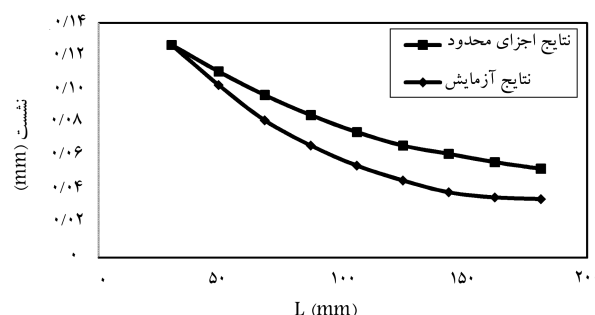
مطالعات تئوریک شامل فرمول‌سازی ریاضی، روش اجزاء محدود و روش تفاوت محدود می‌شود. در بعضی از تحقیقات مدل‌های خطی وینکلر و یا پاسترنک برای شبیه‌سازی رفتار خاک به کار رفته است. در تعداد کمی از مدل‌ها توزیع فشار تاماسی خاک مورد مطالعه قرار گرفته است. تحقیقات نشان می‌دهد که توزیع فشار خاک زیر پی پوسته‌ی به صورت یکنواخت نیست، در حالی که در بسیاری از طراحی‌های سازه‌یی مبتنی بر تئوری غشایی توزیع فشار خاک زیر پی به صورت یکنواخت در نظر گرفته می‌شود.

پژوهشگرانی هم با تحلیل هزینه‌ی پی‌های مخروطی و گنبدهای وارونه، مزایای این‌گونه پی‌ها را مورد مطالعه قرار داده‌اند.<sup>[۴]</sup> در پژوهشی نیز پاسخ دینامیکی غیرخطی پوسته‌های کم عمق دو انتخابی بر یک بستر کشسان وینکلر – پاسترنک که تحت بار سینوسی قرار دارد، مورد مطالعه قرار گرفت.<sup>[۱۰]</sup> همچنین در پژوهشی دیگر ارتعاش آزاد پوسته‌های استوانه‌ی نیمه مدفون در یک بستر کشسان را با مدل‌سازی به روش اجزاء محدود مطالعه قرار دادند.<sup>[۱۱]</sup> پژوهشگرانی هم مسئله‌ای ارتعاش پوسته‌های کم عمق کروی با تکیه‌گاه‌های ساده بر بستر وینکلر را با تعریف یک روش تابع شبه گرین مورد مطالعه قرار دادند.<sup>[۱۲]</sup> تابع شبه گرین با استفاده از راه حل‌های اساسی و معادلات مرزی معرفی شد. در طی این سال‌ها، پژوهشگران دیگری نیز در این زمینه تحقیقاتی انجام داده‌اند.

همان‌گونه که از روند تحقیقات مذکور بر می‌آید، در سال‌های اخیر، تحقیقات در مورد پی‌های پوسته‌یی به سمت کارهای عددی متمایل شده است و فقدان مدل‌سازی عددی و تحلیل غیرخطی و دقیق این‌گونه پی‌ها در زمینه‌ی ژوتکنیکی و سازه‌یی به ویژه اندرکنش خاک و سازه به منظور بررسی بیشتر رفتارشان آشکار است. در این راستا، در این پژوهش با مدل‌سازی سه بعدی و دقیق، تعدادی پی پوسته‌یی مخروطی با استفاده از نرم‌افزار ABAQUS که توانایی مدل‌سازی بتن، خاک، اندرکنش بین خاک و بتن را دارد، رفتار این‌گونه پی‌ها مورد مطالعه قرار گرفته است.

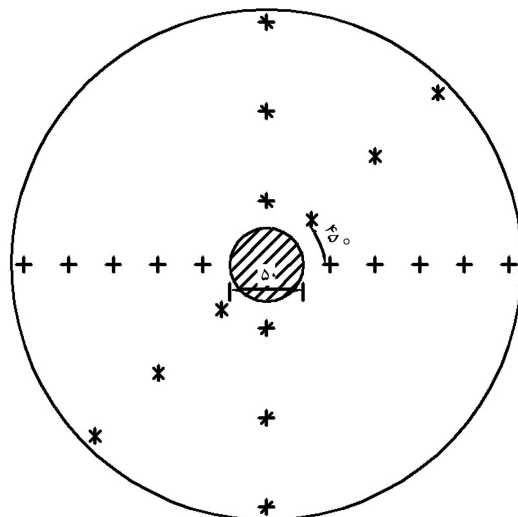
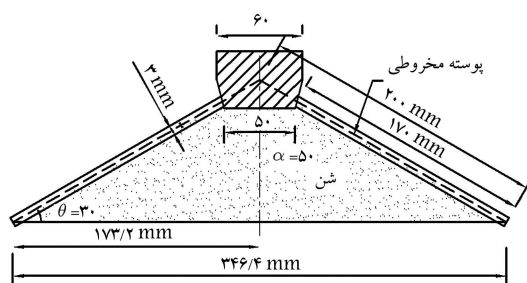


شکل ۲. تنش‌های غشایی در پی مخروطی.

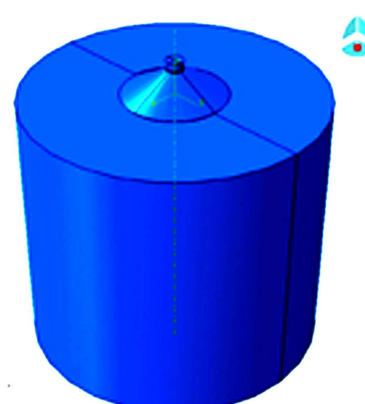


شکل ۵. تغییر مکان زیر پی مخروطی نمونه، حاصل از آزمایش و مدل سازی با ABAQUS

ارائه شده است. در این شکل، تغییر مکان زیر پی هم خوانی مناسبی بین روش اجزاء محدود و نتایج آزمایش نشان می دهد. این مقادیر در نقاط میانی پی به یکدیگر نزدیک تر هستند.



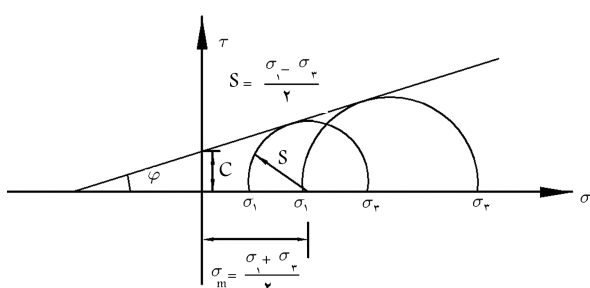
شکل ۳. نمونه‌ی پی مخروطی و محل کرنش سنج‌ها.



شکل ۴. مدل سازی پی مخروطی آزمایشی توسط ABAQUS.

برای مدل سازی خاک از تئوری شکست موهر - کولمب استفاده می شود. این معیار به مصالح همسان گرد اجازه سخت شدنی و نرم شدنی را می دهد. این معیار مناسب کاربرد در طراحی مهندسی ژئوتکنیک برای شبیه سازی پاسخ خاک در بارهای یکنواخت است.

بر اساس این معیار، شکست زمانی اتفاق می افتد که تنش برشی در هر نقطه از مصالح به مقداری برسد که با تنش عمودی در همان صفحه یک رابطه خطی بسازد. مدل موهر - کولمب بر اساس رسم دوایر موهر برای حالت های تنش اصلی بیشینه و کمینه در حالت شکست تعیین می شود. بر اساس تعریف فوق، خط شکست بهترین خط مستقیمی است که بر این دوایر موهر مماس است. شکل ۶، مدل شکست موهر - کولمب را نشان می دهد.



شکل ۶. مدل شکست موهر - کولمب.

۳۰۰۰ نیوتون بر میلی مترمربع و ضربی پواسون آن برابر  $34/3^{\circ}$  است. این آزمایش بر روی یک خاک با رطوبت متوسط و از نوع شن و ماسه‌ی کوبیده شده با چگالی ۱۹/۱۱ کیلونیوتون بر مترمکعب، که درون یک مخزن استوانه‌یی انجام شده است. این نمونه تحت تأثیر باری برابر ۱ کیلونیوتون قرار گرفته است.

برای راستی سنجی روش انتخابی، کل نمونه‌ی آزمایشی و خاک زیر آن مدل شده و تغییر مکان پی در نقاط مختلف با استفاده از ABAQUS اندازه‌گیری شده است.

نمایی کلی از نمونه‌ی آزمایشی و خاک که با نرم افزار ABAQUS مدل سازی شده است، در شکل ۴ نشان داده شده است. در ادامه، نمودار تغییر مکان زیر پی در اثر بار واردہ مدل حاصل از نتایج آزمایش و مدل سازی اجزاء محدود در شکل ۵

همچنین روابط تنش و کرنش به شکل رابطه‌ی ۷ است.

$$\sigma = (1 - d) D_{\text{el}}^{\text{el}} : (\varepsilon - \varepsilon_c^{\text{pl}}) = D_{\text{el}}^{\text{el}} : (\varepsilon - \varepsilon_t^{\text{pl}}) \quad (7)$$

در این رابطه،  $D_{\text{el}}^{\text{el}}$  سختی کشسان اولیه‌ی مصالح (بدون خسارت)،  $D_{\text{el}}^{\text{el}} = (1 - d) D_{\text{el}}^{\text{el}}$  سختی کشسان تقلیل یافته و  $d$  متغیر تقلیل سختی است، که از ۰ تا ۱ بسته به میران خسارت تعریف می‌شود. بنابراین، بر اساس این مکانیزم شکست بتن، ماتریس سختی در طول تحلیل کاهش پیدا می‌کند. بر اساس این تئوری، کاهش سختی در یک نقطه در همه‌ی جهت‌ها یکسان است و بر اساس پارامتر  $d$  تعریف می‌شود. بر اساس نظریات معمول، مکانیزم‌های خسارت محیط‌های پیوسته‌ی تنش مؤثر به شکل رابطه‌ی ۸ است:

$$\bar{\sigma} = D_{\text{el}}^{\text{el}} : (\varepsilon - \varepsilon_t^{\text{pl}}) \quad (8)$$

تشکیل نیز با رابطه‌ی ۹ با تنش مؤثر و ضریب کاهش رابطه دارد:

$$\sigma = (1 - d)\bar{\sigma} \quad (9)$$

برای هر سطح مقطعی از مصالح عامل،  $(1 - d)$  نشان‌دهنده‌ی نسبت سطح مؤثر برابری است. در صورت عدم خسارت دیدگی،  $d = 0$ ، تنش مؤثر با تنش کوشی برابر خواهد بود. برای راحتی کار، مسائل پلاستیسیته را معمولاً بر اساس تنش مؤثر فرمول سازی می‌کنند. بر اساس مطالعه ذکر شده، تنش مؤثر بر پایه‌ی متغیرهای سخت‌شدنی تعریف می‌شود. خسارت دیدگی بتن در کشش و فشار مستقلاباً دو متغیر  $\tilde{\varepsilon}_t^{\text{pl}}$  و  $\tilde{\varepsilon}_c^{\text{pl}}$  که به ترتیب کرنش‌های خمیری معادل کششی و فشاری هستند، تعریف می‌شود (رابطه‌ی ۱۰):

$$\tilde{\varepsilon}^{\text{pl}} = \begin{bmatrix} \tilde{\varepsilon}_t^{\text{pl}} \\ \tilde{\varepsilon}_c^{\text{pl}} \end{bmatrix} \quad (10)$$

ترک‌ها و خردش‌گی بتن نیز با افزایش متغیرهای سخت‌شدنی پدیدار می‌شوند. این متغیرها سطح تسلیم و کاهش ماتریس سختی را کنترل می‌کنند. تابع تسلیم ( $F(\bar{\sigma}, \tilde{\varepsilon}^{\text{pl}})$ ) یک سطح در فضای تنش مؤثر را معرفی می‌کند. در ادامه، شکل تابع تسلیم که حالت‌های شکست و یا خسارت را تعیین می‌کند. در ادامه، شکل تابع تسلیم تعریف خواهد شد. از سوی دیگر، جریان خمیری بر اساس پتانسیل جریان  $G$  بر پایه‌ی قانون جریان به شکل رابطه‌ی ۱۱ حاکم خواهد بود:

$$\dot{\varepsilon}^{\text{pl}} = \lambda \frac{\partial G(\bar{\sigma})}{\partial \bar{\sigma}} \quad (11)$$

در این رابطه،  $\lambda$  ضریب نامفهی خمیری است. پتانسیل خمیری نیز در فضای تنش مؤثر تعریف می‌شود. شکل ویژه‌ی پتانسیل جریان برای مدل خسارت بتن در ادامه معرفی خواهد شد. متغیرهای سخت‌شدنی  $\tilde{\varepsilon}_t^{\text{pl}}$  و  $\tilde{\varepsilon}_c^{\text{pl}}$  با بارگذاری تک محوری و چند محوری به دست می‌آیند.

فرض می‌شود که منحنی تنش-کرنش تک محوری را بتوان به شکل منحنی‌های تنش-کرنش خمیری به شکل روابط ۱۰ و ۱۱ نوشت:

$$\sigma_c = \sigma_c(\tilde{\varepsilon}_c^{\text{pl}}, \tilde{\varepsilon}_c^{\text{pl}}, \theta, f_i) \quad (12)$$

$$\sigma_t = \sigma_t(\tilde{\varepsilon}_t^{\text{pl}}, \tilde{\varepsilon}_t^{\text{pl}}, \theta, f_i)$$

در این روابط،  $\tilde{\varepsilon}_t^{\text{pl}}$  و  $\tilde{\varepsilon}_c^{\text{pl}}$  به ترتیب نزخ کرنش خمیری معادل کششی و فشاری،  $\sigma_t^{\text{pl}}$  تقسیم می‌شود (رابطه‌ی ۶):

میدان متغیرهای است.

مطابق شکل ۶، مدل موهر-کولمب بر اساس رابطه‌های خطی ۱ و ۲ با فرض منفی بدن تنش فشاری تعریف می‌شود:

$$\tau = s \cos \phi; \quad \tau = c - \sigma \tan \phi \quad (11)$$

$$\sigma = \sigma_m + s \sin \phi \quad (12)$$

در این روابط،  $\phi$  ضریب اصطکاک داخلی خاک است. با جایگذاری  $\sigma$  (تنش عمودی) و  $\tau$  (تنش برشی) و ضرب طرفین رابطه‌ی فوق در  $\cos \phi$  مدل موهر-کولمب به شکل روابط ۳ نوشته می‌شود:

$$s + \sigma_m \sin \phi - c \cos \phi = 0$$

$$s = \frac{1}{2}(\sigma_1 - \sigma_2) \quad \sigma_m = \frac{1}{2}(\sigma_1 + \sigma_2) \quad (3)$$

در حالت کلی تنش و حالت تنش سه بعدی، به راحتی می‌توان مدل را بر اساس روابط و ثابت‌های روابط ۴ بیان کرد:

$$F = R_{mc}q - p \tan \phi - c = 0$$

$$R_{mc}(\theta, \phi) = \frac{1}{\sqrt{3} \cos \phi} \sin(\theta + \frac{\pi}{3}) + \frac{1}{\sqrt{3}} \cos(\theta + \frac{\pi}{3}) \tan \phi \quad (4)$$

این روابط، شبیه سطح تسلیم موهر-کولمب در صفحه‌ی تنش  $p - R_{mc}q$  را نشان می‌دهد، که به زاویه‌ی اصطکاک داخلی مصالح و دامنه‌ی پیش تعریف شده‌ی متغیرها بستگی دارد. همچنین C چسبندگی مصالح و  $\theta$  زاویه‌ی قطبی انحرافی است که به شکل روابط ۵ تعریف می‌شود:

$$\begin{aligned} \cos(3\theta) &= \left(\frac{r}{q}\right)^3 \\ p &= -\frac{1}{3} \text{trace}(\sigma) \\ q &= \sqrt{\frac{3}{2}(S : S)} \\ r &= \left(\frac{9}{2} S \cdot S : S\right)^{\frac{1}{2}} \\ S &= \sigma + pI \end{aligned} \quad (5)$$

در این روابط،  $p$  تنش فشاری معادل،  $q$  تنش فن میزس معادل،  $r$  ثابت سوم تنش انحرافی و  $S$  تنش انحرافی است.

### ۲.۳. تئوری شکست و خسارت بتن

تئوری و روابط حاکم بر مدل خسارت و شکست بتن که در نرم‌افزار ABAQUS برای تحلیل بتن و دیگر مصالح شبه ترد استفاده می‌شود (damaged plasticity) در ادامه معرفی می‌شود. بر اساس این مدل، اصلی‌ترین مکانیزم شکست، ترک خودگی در کشش و خردش‌گی در فشار است. رفتار شکستنده‌ی بتن هنگامی که فشار زیاد مخصوص‌کننده در ناحیه‌ی ترک‌ها به وجود آید، ناپدید می‌شود. مدل مناسب نیست. مدل خسارت خمیری ABAQUS بر اساس مدل پیشنهادی Lubliner و همکاران<sup>[۱۲]</sup> و Fenves<sup>[۱۳]</sup> استوار است.

در اولین گام نزخ کرنش کل  $\dot{\varepsilon}$  به دو جزء نزخ کرنش کشسان<sup>۱</sup> و نزخ کرنش خمیری<sup>۲</sup> تقسیم می‌شود (رابطه‌ی ۶):

$$\dot{\varepsilon}^{\text{pl}} = \dot{\varepsilon}^{\text{el}} + \dot{\varepsilon}^{\text{pl}} \quad (6)$$

خسارت دیده تغییر می کنند. اگر  $E_c$  سختی مصالح بدون صدمه دیدگی باشد، رابطه ای تنش کرنش به شکل رابطه ۱۶ خواهد بود:

$$\sigma_c = (1 - d_c) E_c (\varepsilon_c - \tilde{\varepsilon}_c^{pl}) \quad (13)$$

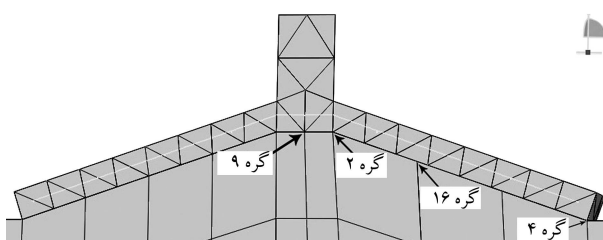
$$\sigma_t = (1 - d_t) E_t (\varepsilon_t - \tilde{\varepsilon}_t^{pl}) \quad (14)$$

در بارگذاری های تک محوری، ترک ها عمود بر جهت تنش گسترش می یابند. این ترک ها باعث کاهش سطح مقطع می شوند و تنش مؤثر افزایش می یابد. این اثر در بارهای فشاری کمتر دیده می شود، اما در بارهای فشاری زیاد و به تبع آن خردشگی باربری مؤثر کاهش می یابد.

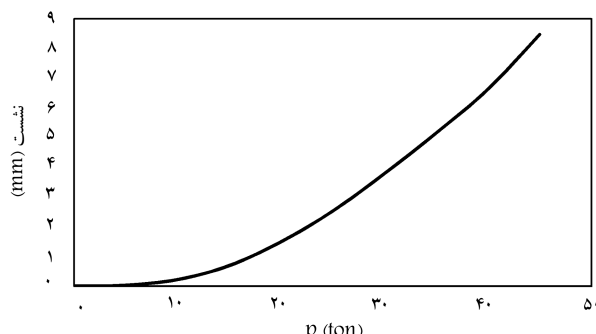
#### ۴. مدل سازی عددی

با مدل سازی تعدادی پی مخروطی با زوایای متفاوت در نرم افزار ABAQUS به بررسی رفتار آنها پرداخته می شود. این نمونه ها از نوع بن مسلح با ضخامت ۱۰ سانتی متر و آرماتور کمیته هی حرارتی تعریف شده اند. بن مورد استفاده دارای مقاومت مشخصه هی ۳۵ مگا پاسکال است. نمونه ها به صورت Rxhy نام گذاری شده اند که x بیانگر شعاع قاعده بر حسب سانتی متر و y بیانگر ارتفاع مخروط است. این مدل سازی سه بعدی است و خاک، بن و آرماتور های آن کاملاً مدل شده اند. بدین ترتیب تعداد ۷ نمونه با شعاع قاعده هی ۱۰۰ سانتی متر و ارتفاع های ۵، ۲۰، ۳۰، ۴۰، ۵۰ و ۸۰ سانتی متر مورد بررسی قرار گرفته اند.

در ادامه، نمودارهای مختلف یک نمونه (R100h30) از این تحلیل ها ارائه می شود. (موقعیت بعضی از این نقاط در شکل ۸ نشان داده شده است). شکل ۹، تغییر مکان زیر پی در نقاط مختلف را تابع نهایی نشان می دهد. شکل ۱۰، تغییر مکان زیر پی در عرض پی برای بار نهایی را نشان می دهد. شکل های ۱۱ الی ۱۴ نمودارهای بیشینه: تنش فشاری بن، تنش کششی بن، تنش موجود در آرماتورها و تنش فشاری خاک را نشان می دهند. با دقت در نمودارها مشخص می شود که شکست برشی خاک و نه شست آن و یا خرابی بن و فولاد، عامل شکست کل



شکل ۸. المان بندی نمونه R100h30 در نرم افزار ABAQUS



شکل ۹. نمودار بار تغییر مکان زیر پی.

همچنین در اثر شرایط بار تک محوری، نزخ کرنش معادل در کشش و فشار تک محوری به شکل روابط ۱۳ و ۱۴ تعریف می شود:

$$\dot{\varepsilon}_t^{pl} = \dot{\varepsilon}_{11}^{pl} \quad (13)$$

$$\dot{\varepsilon}_c^{pl} = -\dot{\varepsilon}_{11}^{pl} \quad (14)$$

در ادامه، با فرض مشیت بودن تنش فشاری خواهیم داشت:

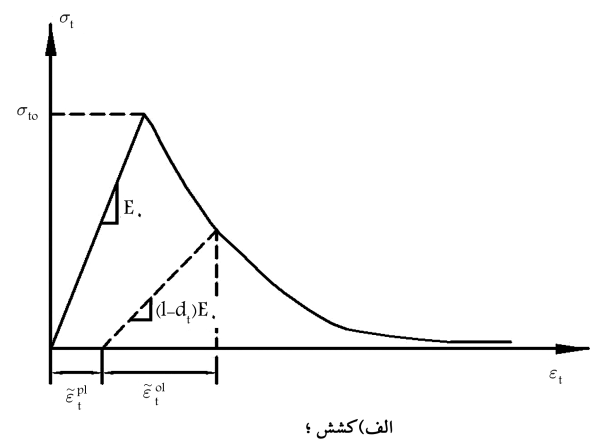
$$\sigma_c = -\sigma_{11}$$

همان طور که در شکل ۷ دیده می شود، وقتی یک نمونه ی بتی در هر نقطه بی از شاخه نرم شدگی نمودار تنش - کرنش باربرداری شود، پاسخ باربرداری به سوی ضعیف شدن پیش می رود و ماتریس سختی کشسان کاهش می یابد. این کاهش سختی بین آزمایش های نشاری و کششی به طور چشمگیری متفاوت است. به عبارت دیگر، کرنش خمیری افزایش می یابد. کاهش سختی مستقل از دو متغیر  $d_t$  و  $d_c$  تعریف می شود که خود تابعی از کرنش خمیری، دما و میدان متغیرهاست (روابط ۱۵):

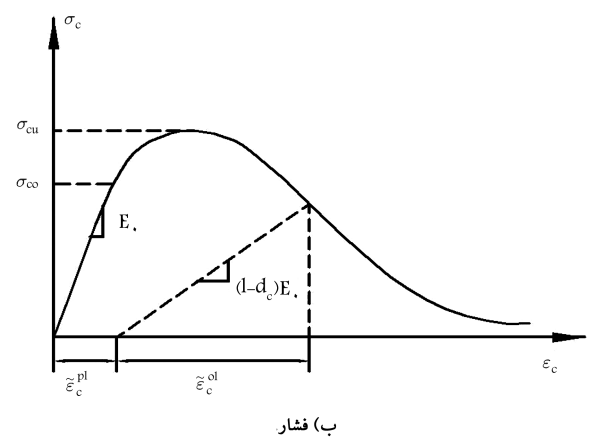
$$d_c = d_c(\tilde{\varepsilon}_c^{pl}, \theta, f_i) \quad (15)$$

$$d_t = d_t(\tilde{\varepsilon}_t^{pl}, \theta, f_i)$$

متغیرهای کاهش سختی تک محوری با افزایش کرنش های خمیری معادل افزایش می یابند. این متغیرها از  $0^\circ$  در مورد مصالح بدون خسارت تا  $1^\circ$  برای مصالح کاملاً

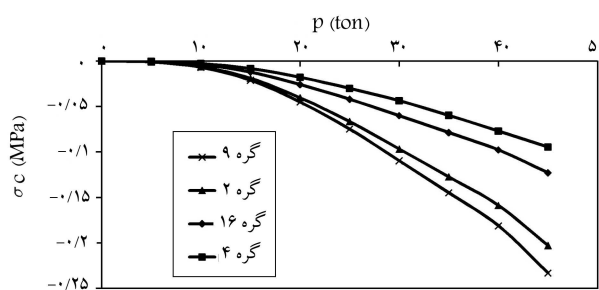


الف) کشش

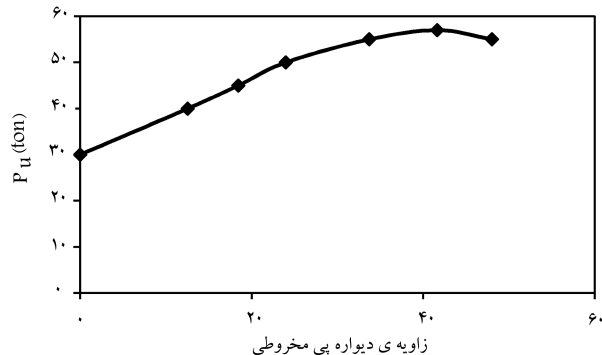


ب) فشار

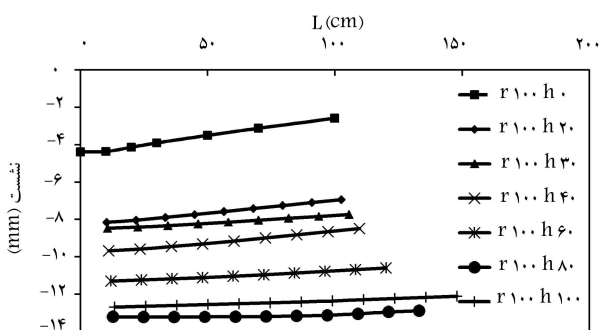
شکل ۷. پاسخ بن به بارگذاری تک محوری.



شکل ۱۴. نمودار بیشینه‌ی تنش فشاری خاک.



شکل ۱۵. نمودار بار نهایی - زاویه‌ی دیواره‌ی پی با خط افق.



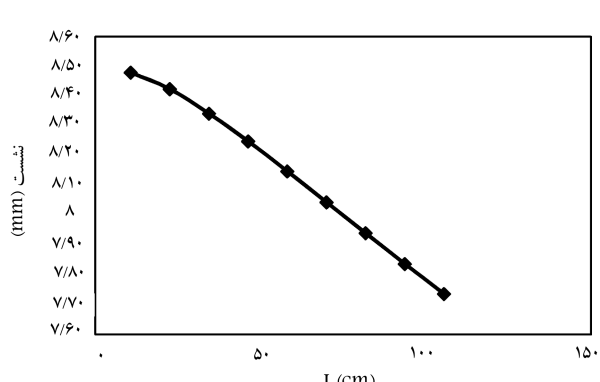
شکل ۱۶. نمودار تغییرمکان زیر پی در نقاط مختلف برای پی‌های مخروطی با زوایای متفاوت.

مجموعه است. این در حالی است که کمینه‌های پارامترهای سازه‌ی برای این خاک معمولی در نظر گرفته شده است. در نمودار ۱۵، تغییرات بار نهایی - زاویه‌ی پی مخروطی که مقاومت خاک که عامل اصلی شکست پی در این مطالعه‌ی نمودار درمی‌یابیم که مقاومت خاک به ارتفاع  $80$  سانتی‌متر (زاویه‌ی دیواره‌ی پی با افق حدود  $40$  درجه) بیشترین مقدار را دارد. نمودارهای شکل ۱۶، تغییرات نشست پی در نقاط مختلف برای بار نهایی مربوط به پی‌های مخروطی با زوایای متفاوت است.

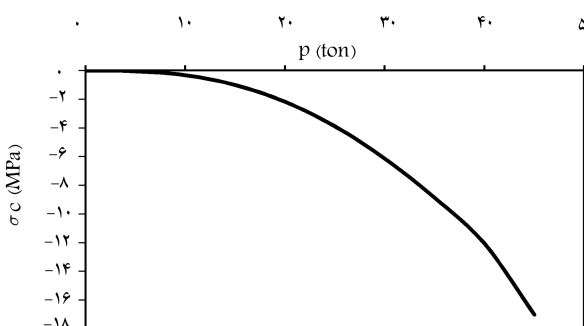
## ۵. نتیجه‌گیری

با مطالعه‌ی دقیق نمودارها، این نتایج قابل استنتاج است:

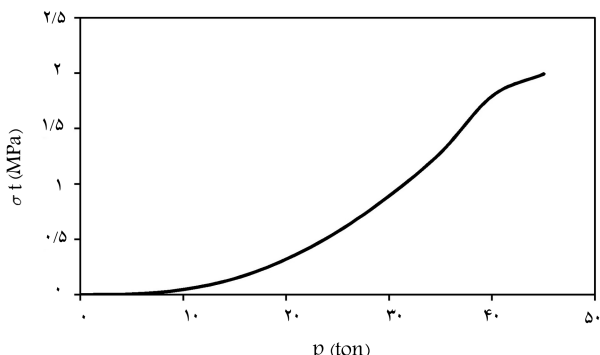
۱. مطابق نمودار ۹، با افزایش بار نزد افزایش تغییرمکان بی افزایش می‌یابد. این پدیده به دلیل رفتار غیرخطی خاک و بتن است.
۲. با توجه به نمودار ۱۰، تغییرمکان بیشینه، زیر پی مربوط به مرکز پی (زیر بار)



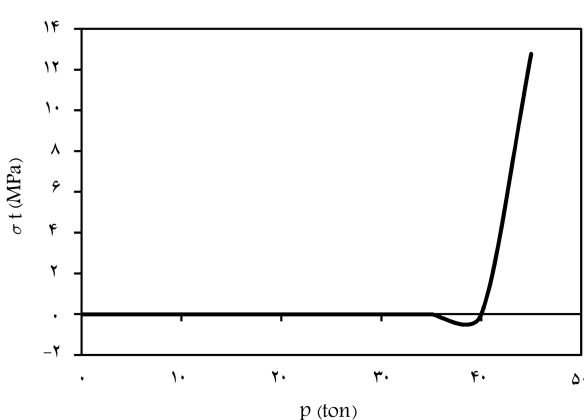
شکل ۱۰. نمودار تغییرمکان زیر پی برای بار نهایی در نقاط مختلف.



شکل ۱۱. نمودار بیشینه‌ی تنش فشاری بتن.



شکل ۱۲. نمودار بیشینه‌ی تنش کششی بتن.



شکل ۱۳. نمودار بیشینه‌ی تنش کششی آرماتورها.

نشان می‌دهد. این زاویه‌ی بهینه برای شرایط در نظر گرفته شده در این پژوهش (پی‌پوسته‌ی مخروطی بتن مسلح فراگرفته بر روی خاک دانه‌ی) حدود ۴۰ درجه است.

۴. افزایش مقاومت مجموعه برای پی‌پوسته‌ی مخروطی نسبت به پی‌سطح نظیر حدود ۹۰٪ است، که خود نشان‌دهنده‌ی مناسب بودن استفاده از این گونه پی‌ها در مقایسه با پی‌های مسطح است.

است. هر چه به لبه‌ها نزدیک تر شویم، این تغییر مکان کاهش می‌یابد. البته این تفاوت تغییر مکان با توجه به سختی زیاد پی‌پوسته نیست. این اختلاف نشست برای این نوع خاک و پی‌پوسته‌ی حدود ۹٪ به دست آمده است.

۳. با افزایش زاویه‌ی پی‌پوسته‌ی مقاومت مجموعه، افزایش می‌یابد. این روند تا زاویه‌ی بهینه ادامه خواهد داشت که در این زاویه بیشترین مقاومت را از خود

## منابع (References)

1. Nainan, P., Kurian, *Shell Foundations Geometry, Analysis, Design and Construction*, Alfa Science International Ltd, India (2006).
2. Kurian, N.P. and Jeyachandran, S.R. "Model studies on the behavior of sand under two and three dimensional shell foundations", *Indian Geotech. J.*, **2**(1), pp. 79-90 (1972).
3. Abdol-Rahman, M.M. and Hanna, A.M. "Vertical displacement induced in soil by conical shell foundations", *Proc. Vertical and Horizontal Deformations of Foundations and Embankments, Settlement 94.*, ASCE, University of Texas at A & M, Geotechnical Special Publication, **40**(2), pp. 635-652 (1994).
4. Kurian, N.P. "Behaviour of shell foundations under subsidence of core soil", *Proc. 13th Int. Conf. Soil Mechanics and Foundation Engrg.*, New Delhi, India, **2**, pp. 591-594 (1994).
5. Kurian, N.P. and Jayakrishna, V.M. "Analytical studies on the geotechnical performance of shell foundations", *Canadian Geo. J.*, **42**(2), pp. 562-573 (2005).
6. Bujang, B.K. Huat and Thamer, A.M. "Finite element study using FE code (Plaxis) on the geotechnical behavior of shell footings", *J. of Computer Science*, **2**(1), pp. 104-108 (2006).
7. Esmaili, D. and Hataf, N. "Experimental and numerical investigation of ultimate load capacity of shell foundations on reinforced and unreinforced sand", *Iranian J. of Science & Technology. Transaction B. Engineering*, **32**(B5), pp. 491-500 (2008).
8. Yamamoto, K., Lyamin, A.V., Abbo, A.J., Sloan, S.W. and Hira, M. "Bearing capacity and failure mechanism of different types of foundations and sand", *Soil and Foundations*, **49**(2), pp. 305-314 (2009).
9. Kurian, N.P. and Shah, S.H. "Economy of conical and inverted dome shell foundations", *J. Institution of Engineers*, **64**, pp. 281-286 (1984).
10. Civalek, O. "Geometrically nonlinear dynamic analysis of doubly curved isotropic shells resting on elastic foundation by a combination of harmonic differential quadrature-finite difference method", *Int. J. of Pressure Vessels and Piping*, **82**, pp. 470-479 (2005).
11. Gunawan, H., Mikami, T., Kanie, S. and Sato, M. "Free vibration characteristics of cylindrical shells partially buried in elastic foundations", *Journal of Sound and Vibration*, **290**(3-5), pp. 785-793 (2006).
12. Yuan, H. and Li, S. "Green quasifunction method for free vibration of simply-supported trapezoidal shallow spherical shell on winkler foundation", *Acta Mechanica Solida Sinica*, **23**(4), pp. 370-376 (2010).
13. Lubliner, J., Oliver, J., Oller, S. and Oñate, E. "A plastic-damage model for concrete", *International Journal of Solids and Structures*, **25**(3), pp. 299-329 (1989).
14. Lee, J. and Fenves, G.L. "Plastic-damage model for cyclic loading of concrete structures", *Journal of Engineering Mechanics*, **124**(8), pp. 892-900 (1998).